

ОПРЕДЕЛЕНИЕ УСИЛИЙ В КЛЕЕВОМ ШВЕ СОЕДИНЕНИЯ ЛИСТОВЫХ МАТЕРИАЛОВ ВНАХЛЕСТКУ

Предлагаемый метод определения усилий в клеевом шве соединения листовых материалов внахлестку основан на представлении соединения в виде дискретной стержневой системы по расчетной схеме кососимметричной рамы. Определение усилий предлагается вести методом сил.

Листовые материалы как конструктивные элементы широко применяются в транспортных (корабли, самолеты, автомобили и др.), строительных и других конструкциях. Надежность и долговечность работы таких конструкций во многом зависит от прочности соединений листовых материалов. В настоящее время все большее применение в конструкциях находят листовые композиционные полимерные материалы – стеклопластики, углепластики и другие, специфическими свойствами которых является их малая жесткость при высокой прочности.

Имеющиеся предложения, например [1], по расчету соединений внахлестку листовых материалов при растяжении предполагают разрушение клеевого шва внезапно от усилий сдвига без учета отрывающих усилий.

Такой подход к расчету клеевых соединений внахлестку можно считать корректным, если жесткость (E_G) соединяемых листов достаточно велика и практически исключает изгиб листов до разрушения.

Проведенные экспериментальные исследования клеевых соединений внахлестку при растяжении тонких листов стеклопластиков [2], имеющих большую прочность, но сравнительно малый модуль упругости (на порядок ниже модуля упругости стали), показали, что разрушение клеевого соединения имеет иную картину, чем предполагается в [1]. Разрушение начинается постепенно ступенями от усилий отрыва по концам нахлестки.

Сначала разрушение образца начинается на небольших участках по концам нахлестки, затем при увеличивающейся нагрузке растяжения образца происходит вторичное разрушение на большей площади нахлестки, затем при дальнейшем увеличении действующей на растяжение нагрузки внезапно разрушается от сдвигающих усилий оставшаяся часть клеевого шва. Такая наблюдавшаяся картина разрушения образцов клеевого соединения листовых материалов, имеющих небольшую жесткость, показывает, с одной стороны, тот факт, что внезапное разрушение клеевого соединения от

сдвигающих усилий происходит не на полной длине нахлестки, как предполагается в [1], а на части ее, составляющей примерно треть длины нахлестки. С этой точки зрения расчет клеевого соединения на прочность по [1, 2] содержит как бы запас прочности.

С другой стороны, разрушение клеевого шва начинается задолго до предельной нагрузки, с чем мириться нельзя, так как в отслоившийся участок клеевого шва могут попадать влага, газы, оказывая расклинивающее на клеевой шов влияние, что может привести к саморазрушению клеевого соединения даже при отсутствии больших нагрузок на него. С этой точки зрения расчет клеевого соединения внахлестку без учета отрывающих усилий направлен в сторону риска, так как начало разрушения соединения от отрывающих усилий происходит при нагрузке примерно втрое меньше расчетной.

Попытка предложить расчет соединения листовых материалов внахлестку с применением математического аппарата теории упругости потерпела неудачу [3], что и следовало ожидать, так как реальная система соединения листовых материалов внахлестку является дискретной с разными упругими характеристиками элементов соединения и не соответствует гипотезе теории упругости о сплошности и изотропности системы.

Имевшиеся в литературе сведения [4, 5] о преобразовании сплошной системы в дискретную позволяют предложить дискретную схему соединения листовых материалов внахлестку, представляя соединяемые листы стержнями, а связь между ними (клей или другие виды соединения) – «стерженьками», соединяющими листы, рисунок 1.

Такая расчетная схема применительно к рисунку 1 представляет собой много раз статически неопределенную кососимметричную раму, внутренние усилия в стержнях которой ($\chi_1 - \chi_{18}$) можно определить от действия силы Р методами сил, перемещений, смешанным методом. Увеличение числа делений нахлестки повышает точность расчета.

Наиболее целесообразно найти эти усилия методом сил, при котором неизвестные являются непосредственно искомыми усилиями. Наличие кососимметричных ($\chi_1 - \chi_6$) и прямосимметричных ($\chi_7 - \chi_{12}$, $\chi_{13} - \chi_{18}$) неизвестных общую систему канонических уравнений позволяет разделить на две самостоятельные системы неизвестных – кососимметричную ($\chi_1 - \chi_6$) и прямосимметричную ($\chi_7 - \chi_{12}$, $\chi_{13} - \chi_{18}$).

Предварительные расчеты показали, что неизвестные $\chi_{13} - \chi_{18}$ мало влияют на значение $\chi_7 - \chi_{12}$ и в расчетах могут не учитываться, таким образом, для определения сдвигающих и отрывающих усилий достаточно решить две самостоятельные системы канонических уравнений.

$$\begin{cases} \delta_{11}\chi_1 + \delta_{12}\chi_2 + \delta_{13}\chi_3 + \delta_{14}\chi_4 + \delta_{15}\chi_5 + \delta_{16}\chi_6 = -\Delta_{1p} \\ \delta_{21}\chi_1 + \delta_{22}\chi_2 + \delta_{23}\chi_3 + \delta_{24}\chi_4 + \delta_{25}\chi_5 + \delta_{26}\chi_6 = -\Delta_{2p} \\ \delta_{31}\chi_1 + \delta_{32}\chi_2 + \delta_{33}\chi_3 + \delta_{34}\chi_4 + \delta_{35}\chi_5 + \delta_{36}\chi_6 = -\Delta_{3p} \\ \delta_{41}\chi_1 + \delta_{42}\chi_2 + \delta_{43}\chi_3 + \delta_{44}\chi_4 + \delta_{45}\chi_5 + \delta_{46}\chi_6 = -\Delta_{4p} \\ \delta_{51}\chi_1 + \delta_{52}\chi_2 + \delta_{53}\chi_3 + \delta_{54}\chi_4 + \delta_{55}\chi_5 + \delta_{56}\chi_6 = -\Delta_{5p} \\ \delta_{61}\chi_1 + \delta_{62}\chi_2 + \delta_{63}\chi_3 + \delta_{64}\chi_4 + \delta_{65}\chi_5 + \delta_{66}\chi_6 = -\Delta_{6p} \end{cases} \quad (1)$$

$$\begin{cases} \delta_{77}\chi_7 + \delta_{78}\chi_8 + \delta_{79}\chi_9 + \delta_{710}\chi_{10} + \delta_{711}\chi_{11} + \delta_{712}\chi_{12} = -\Delta_{7p} \\ \delta_{87}\chi_7 + \delta_{88}\chi_8 + \delta_{89}\chi_9 + \delta_{810}\chi_{10} + \delta_{811}\chi_{11} + \delta_{812}\chi_{12} = -\Delta_{9p} \\ \delta_{97}\chi_7 + \delta_{98}\chi_8 + \delta_{99}\chi_9 + \delta_{910}\chi_{10} + \delta_{911}\chi_{11} + \delta_{912}\chi_{12} = -\Delta_{9p} \\ \delta_{107}\chi_7 + \delta_{108}\chi_8 + \delta_{109}\chi_9 + \delta_{1010}\chi_{10} + \delta_{1011}\chi_{11} + \delta_{1012}\chi_{12} = -\Delta_{10p} \\ \delta_{117}\chi_7 + \delta_{118}\chi_8 + \delta_{119}\chi_9 + \delta_{1110}\chi_{10} + \delta_{1111}\chi_{11} + \delta_{1112}\chi_{12} = -\Delta_{11p} \\ \delta_{127}\chi_7 + \delta_{128}\chi_8 + \delta_{129}\chi_9 + \delta_{1210}\chi_{10} + \delta_{1211}\chi_{11} + \delta_{1212}\chi_{12} = -\Delta_{12p} \end{cases} \quad (2)$$

Коэффициенты при неизвестных в системах (1), (2) находятся по формулам

$$\delta_{ik} = \sum_{i=0}^n \int \frac{\bar{M}_i \bar{M}_k}{E_l G_l} dx + \sum_{i=0}^n \int \frac{\bar{N}_i \bar{N}_k}{E_{ct} F_{ct}} dx + \sum_{i=0}^n \int \frac{1,2 \bar{Q}_i \bar{Q}_k}{G_{ct} F_{ct}} dx, \quad (3)$$

$$\delta_{ip} = \sum_{i=0}^n \int \frac{\bar{M}_i \bar{M}_p}{E_l G_l} dx + \sum_{i=0}^n \int \frac{\bar{N}_i \bar{N}_p}{E_{ct} F_{ct}} dx + \sum_{i=0}^n \int \frac{1,2 \bar{Q}_i \bar{Q}_p}{G_{ct} F_{ct}} dx, \quad (4)$$

где E_l, G_l – параметры склеиваемых материалов; E_{ct}, F_{ct}, G_{ct} – параметры kleевого слоя.

Ввиду того, что параметры kleевого слоя и склеиваемых материалов могут отличаться на порядок, пренебрегать вторым и третьим слагаемыми в формулах (3), (4) не следует.

Единичные коэффициенты δ_{ik} при неизвестных канонических уравнений χ_i и грузовые коэффициенты Δ_{ip} не трудно найти, решая интегралы графически по методу Верещагина, учитывая сравнительно простое очертание эпюров, рисунок 2, 3.

Решение систем линейных алгебраических уравнений может быть выполнено на ЭВМ по программе SIMQ и другим.

В качестве примера в таблице 1 и на рисунке 4 приведены результаты расчета сдвигающих усилий в kleевом шве вдоль нахлестки соединения полимерных стеклопластиков по деформированной схеме, при внешней статической неопределенности схемы, с геометрическими параметрами рисунка 2. Приняты модуль упругости листов стеклопластика $E_l = 2 \times 10^5 \text{ кг}/\text{см}^2$, коэффициент Пуассона $\mu = 0,25$, площадь листа при ширине 1 см $F_l = 0,2 \text{ см}^2$, площадь стерженька $F_{cm} = \frac{2}{7} \text{ см}^2$,

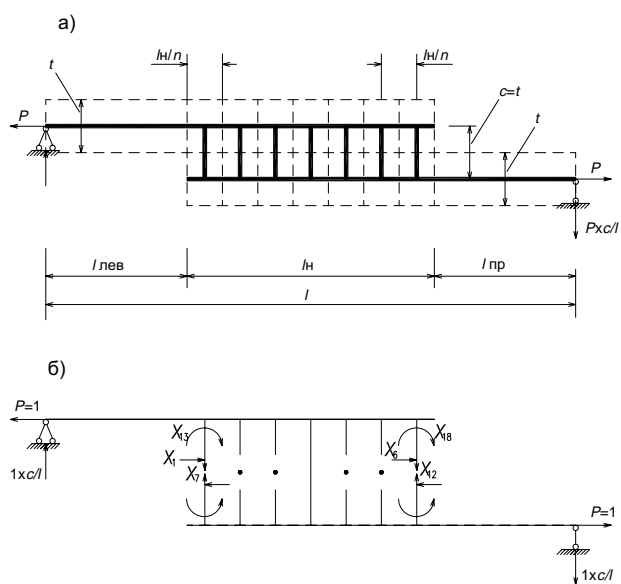


Рисунок 1. Предлагаемая расчетная схема:
а) схема выделения дискретной системы из сплошной;

б) расчетная схема методами сил.

1 – длина образца; l_h – длина нахлестки;
 $l_{\text{лев}}$ – расстояние от левой опоры до нахлестки;
 $l_{\text{пр}}$ – расстояние от правой опоры до нахлестки;
 t – толщина листов; c – эксцентризитет;
 P – растягивающая сила; n – число делений нахлестки;
--- контур соединения листов внахлестку и деление
нахлестки на участки;
— схема предлагаемой дискретной системы;
 χ_1 по χ_6 – сдвигающие усилия; χ_7 по χ_{12} –
отрывающие усилия; χ_{13} по χ_{18} – моменты.

Таблица 1. Значения единичных и грузовых коэффициентов системы канонических уравнений (1), подсчитанные по данным примера

3077	1852	1205	612	612	612	1528
1852	2460	1230	612	612	612	1226
1205	1230	1942	612	612	612	920
612	612	612	1942	1230	1205	920
612	612	612	1203	2460	1852	1226
612	612	612	1205	1852	3077	1528

Примечание: коэффициенты увеличены в 10^4 раз для удобства ввода данных в ЭВМ.

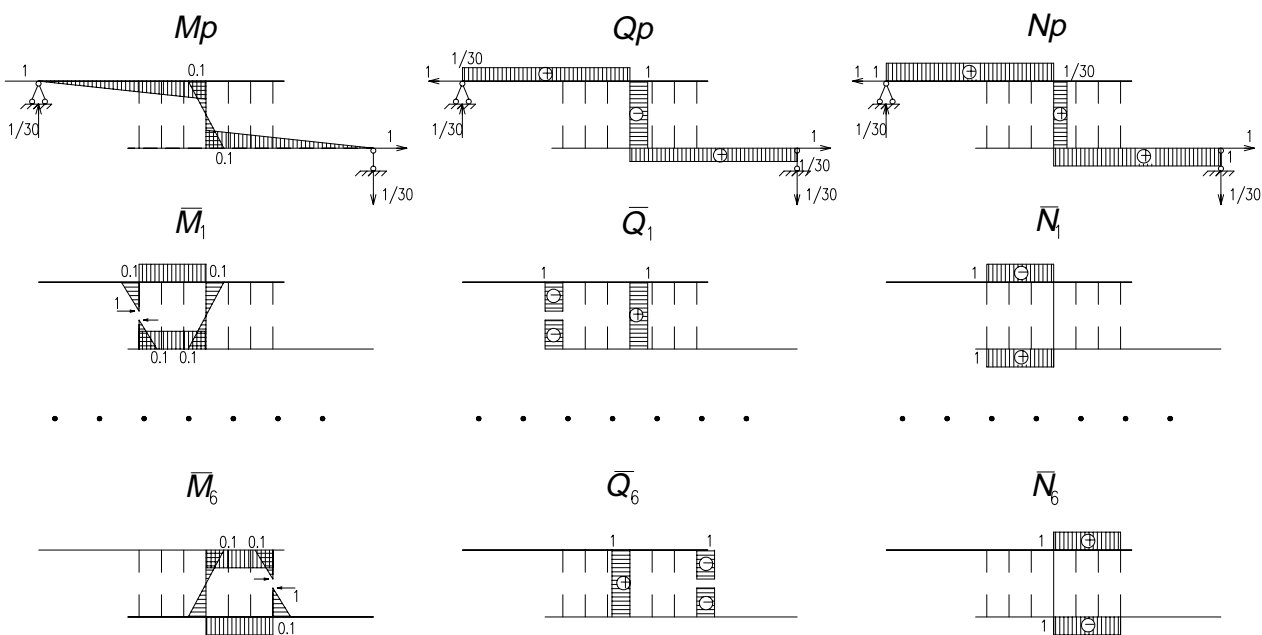


Рисунок 2. Грузовая и единичные эпюры для коэффициентов при неизвестных X_1, X_6 системы уравнений (1) при параметрах $n=7$, $l_h=l_{лев}=l_{пр}=2\text{см}$, $t=0,2\text{см}$, $P=1$, $b=1\text{см}$.

Остальные единичные эпюры для вычисления коэффициентов при неизвестных $X_2 - X_5$ строятся аналогично.

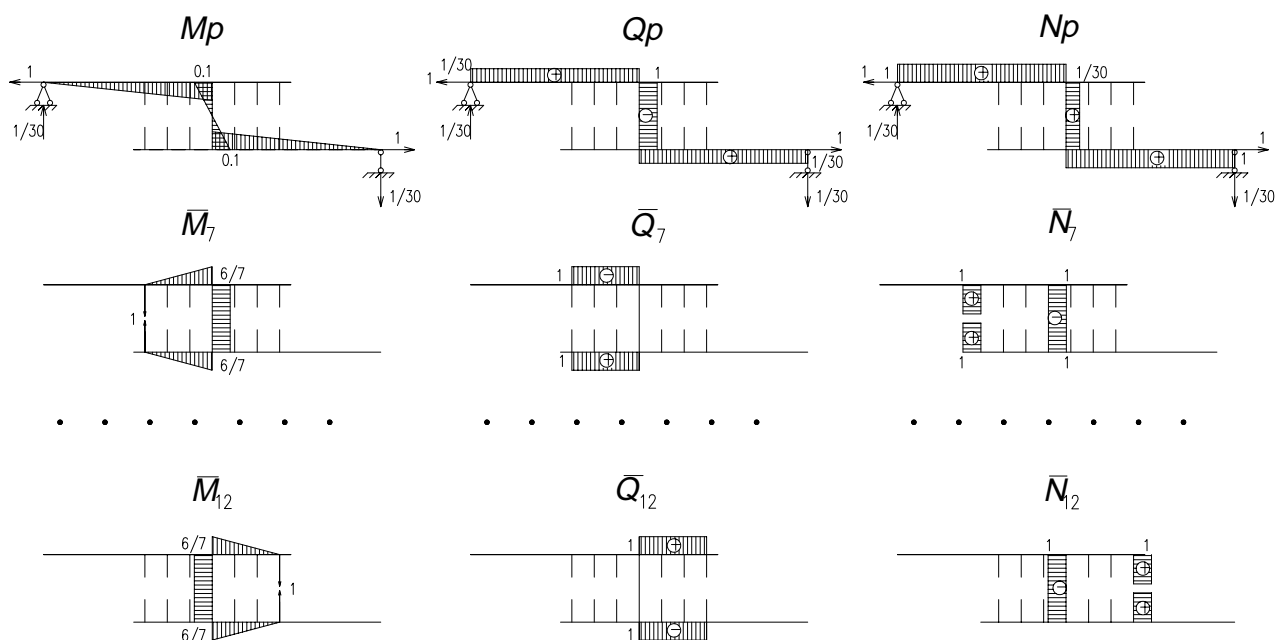


Рисунок 3. Грузовая и единичные эпюры для коэффициентов при неизвестных X_7, X_{12} системы уравнений (2) при параметрах $n=7$, $l_h=l_{лев}=l_{пр}=2\text{см}$, $t=0,2\text{см}$, $P=1$, $b=1\text{см}$.

Остальные единичные эпюры для вычисления коэффициентов при неизвестных $X_8 - X_{11}$ строятся аналогично.

$G_x = \frac{bh^3}{12} = 1 \times \frac{0,4^3}{12}$, толщина kleевого шва считается принебрежимо малой.

Предложенный метод расчета kleевых соединений внахлестку может быть распространен на заклепочные и сварные соединения.

Данный метод расчета удобен для анализа распределения усилий в kleевом шве при разных видах опорных закреплений и внешней нагрузке, так как при одинаковых геометрических параметрах нахлестки и упругих характеристик материала матрица единичных коэффициентов канонических уравнений остается без изменений, достаточно изменить лишь матрицу-столбец грузовых коэффициентов.

Расчет по предложенному методу может быть выполнен для других схем kleевого соединения листовых материалов (стык с односторонней накладкой, с двухсторонними накладками, на «ус»). С небольшими дополнительными вычислениями может быть произведен расчет листовых соединений криволинейного очертания, а также учтено влияние толщины kleевого шва.

Выводы:

– критерием прочности kleевого соединения листовых материалов внахлестку согласно предложенной методике может быть равнодействую-

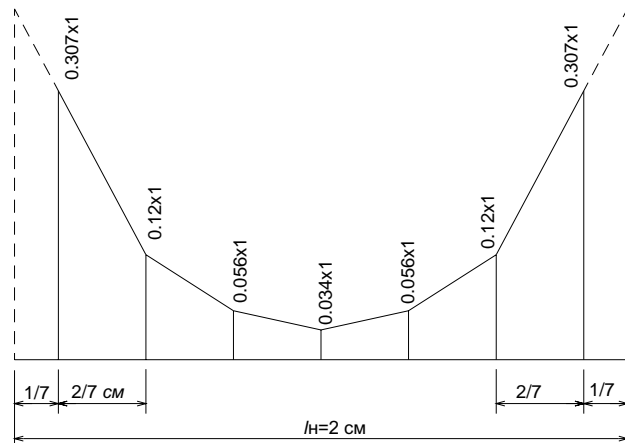


Рисунок 4. Эпюра распределения сдвигающих усилий в kleевом соединении полизэфирного стеклопластика вдоль нахлестки при действии на образец растягивающей силы $P=1$, подсчитанная по схемам рисунка 2 и данным таблицы 1

ющая R сдвигающих и отрывающих усилий на конце нахлестки;

– предложенный метод, основанный на теоремах строительной механики, позволяет сравнительно просто определять перемещения по длине kleевого шва, а следовательно, определять усилия и по деформированной схеме соединения.

Список использованной литературы:

1. Сажин А.М. Расчет напряжений в kleевых соединениях металлических пластин при сдвиге // Вестник машиностроения, 1964, № 11, с. 43.
2. Норкин С.П. Прочность и деформативность kleевого соединения полизэфирных стеклопластиков. Кандидатская диссертация, 1968.
3. Бернштейн С.А. Очерки по истории строительной механики. М.: Гос. изд. лит. по стр. и арх. 1957.
4. Жемочкин Б.Н. и Синицын А.П. Практические методы расчета фундаментных балок и плит на упругом основании. М.: Стройиздат. 1947.
5. Смирнов В.А. и др. Строительная механика. Учебник для вузов. М.: Стройиздат. 1984.